

Wyniki badania obecności grafenu w płynach infuzyjnych (protokół z badań)

Diana Wojtkowiak

22lutego 2022

www.torsionfield.eu

Streszczenie

Metodą spektroskopii cząstek pól torsyjnych zostało zbadane pod kątem zawartości grafenu sześć płynów do wlewów dożylnych, insulina i heparyna do wstrzykiwań. Były to produkty firm zachodnich. Obecności grafenu w tych lekach spodziewali się lekarze obeznani w problemie toksyczności produktów kartelu farmaceutycznego. Na osiem zbadanych leków zakupionych w aptekach, w siedmiu znajdował się grafen. Obecność grafenu została zaobserwowana pod mikroskopem w postaci cząsteczek o wielkości około dwóch mikrometrów, a to, że te właśnie cząsteczki są grafenem zostało potwierdzone spektroskopowo ze zdjęć mikroskopowych.

Płyny infuzyjne

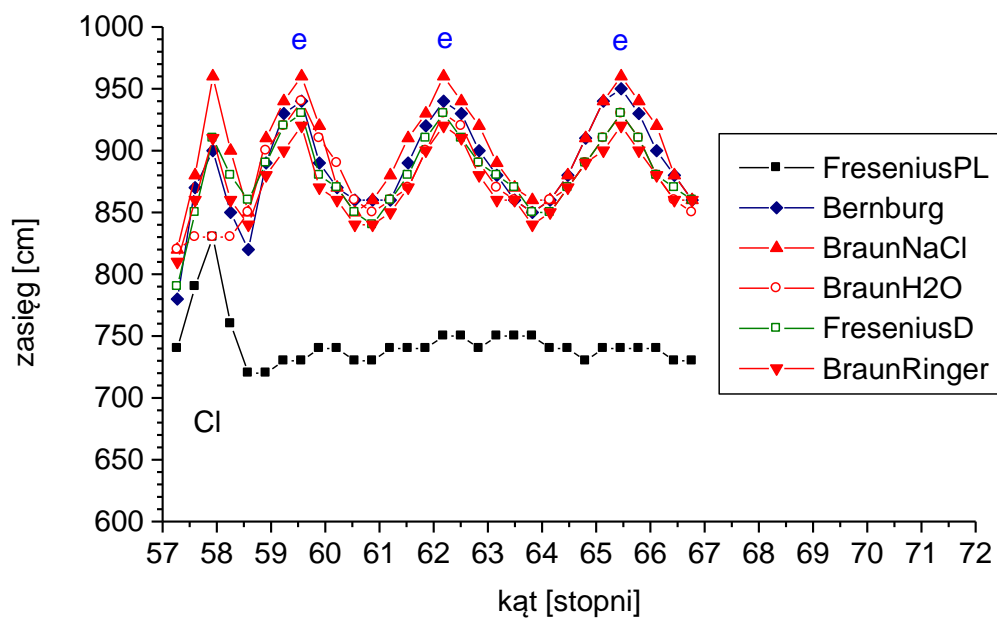
1. Roztwór Ringera Braun Melsungen Niemcy, seria 213028143
2. Aqua Braun Melsungen Nemecko, Lot 211328162
3. Natrium chloratum 0,9% Fresenius Kabi Warszawa Polska, Lot 15QGA410
4. Isotonische Kochsalzlosung Fresenius Kabi Hamburg Deutschland, seria 19QLA910
5. Isotonische Kochsalzlosung Bernburg, seria 2106257
6. NaCl 0,9% Braun Melsungen, seria 214858143

Uproszczona metoda sprawdzania obecności grafenu. Promieniowanie po godzinie od skasowania informacji homeopatycznej. Promieniowanie z 50ml płynu w butelce szklanej 0,5l

Próbka	po 1h.
	Zasięg K10 [cm]
1	600
2	630
3	160
4	570
5	600
6	580

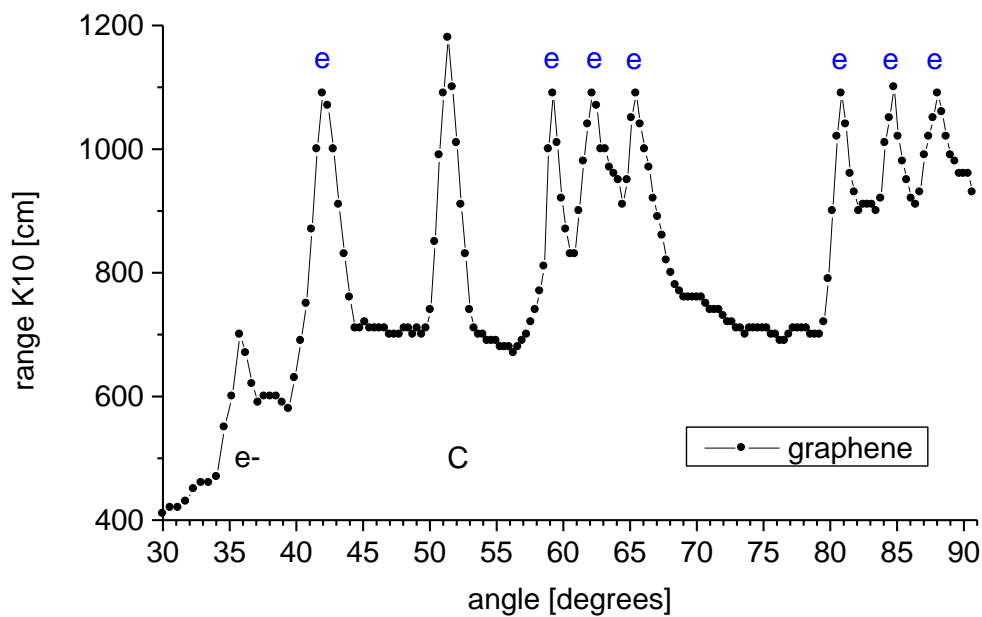
kąt	aprosk	3	5	6	2	4	1
[mm]	[stopni - 90]	zasięg K10 [cm]	zasięg K10 [cm]	zasięg K10 [cm]	zasięg K10 [cm]	zasięg K10 [cm]	zasięg K10 [cm]
34	57,27	740	780	820	820	790	810
34,5	57,5975	790	870	880	830	850	860
35	57,925	830	900	960	830	910	910
35,5	58,2525	760	850	900	830	880	860

36	58,58	720	820	850	850	860	840
36,5	58,9075	720	890	910	900	890	880
37	59,235	730	930	940	920	920	900
37,5	59,5625	730	940	960	940	930	920
38	59,89	740	890	920	910	880	870
38,5	60,2175	740	870	870	890	870	860
39	60,545	730	860	850	860	850	840
39,5	60,8725	730	860	860	850	840	840
40	61,2	740	860	880	860	860	850
40,5	61,5275	740	890	910	870	880	870
41	61,855	740	920	930	900	910	900
41,5	62,1825	750	940	960	930	930	920
42	62,51	750	930	940	920	910	910
42,5	62,8375	740	900	920	890	890	880
43	63,165	750	880	890	870	880	860
43,5	63,4925	750	860	870	860	870	860
44	63,82	750	850	860	850	850	840
44,5	64,1475	740	860	860	860	850	850
45	64,475	740	880	880	870	870	870
45,5	64,8025	730	910	910	890	890	890
46	65,13	740	940	940	910	910	900
46,5	65,4575	740	950	960	930	930	920
47	65,785	740	930	940	910	910	900
47,5	66,1125	740	900	920	880	880	880
48	66,44	730	880	880	860	870	860
48,5	66,7675	730	860	860	850	860	860



Rys.1 Spektrum informacji przeniesionej akceleratorem z 50ml płynu infuzyjnego na fiolkę zawierającą 10ml wody, rozdzielane z użyciem spektroskopu cząstek pola torsyjnego. Oznaczenia: Cl - chlor, e - sygnały od orbitali aromatycznych grafenu. Oś odciętych - kąt wiązki padającej względem płaszczyzny łamiącej mierzony w stopniach, oś rzędnych - zasięg promieniowania Kategorii K10 z próbek na wyjściu spektroskopu mierzony w centymetrach.

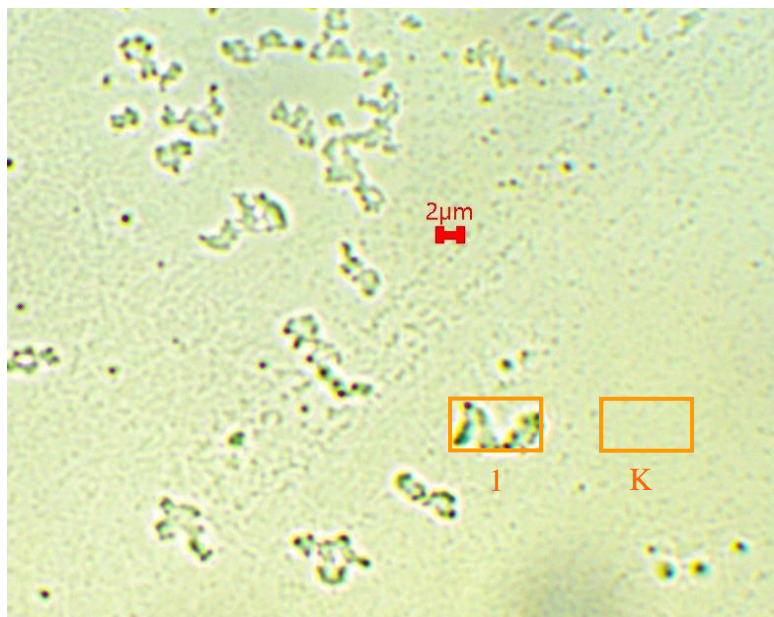
Z przeprowadzonego z użyciem spektroskopu cząstek pola torsyjnego badania dostarczonych sześciu próbek płynów infuzyjnych o objętości 0,5l (pięć próbek nienaruszonych, roztwór Ringera zacząty) wynika, że w pięciu próbkach znajdował się grafen. Próbka roztworu chlorku sodu Fresenius Kabi Warszawa Polska, Lot 15QGA410 nie zawierała grafenu. Jako sygnały wzorcowe dla określenia obecności grafenu zastosowano wstępnie spektrum grafitu, biorąc pod uwagę, że grafen małowcząsteczkowy jest rozwarstwionym, metodami fizykochemicznymi, do grubości jednoatomowej - grafitem. Następnie wyniki potwierdzono wykonując spektrum niemodyfikowanego specjalną obróbką grafenu. Dla porównania na kolejnym wykresie znajduje się spektrum niemodyfikowanego grafenu.



Rys. 2. Spektrum cząstek pola torsyjnego grafenu.

Płyny infuzyjne c.d.

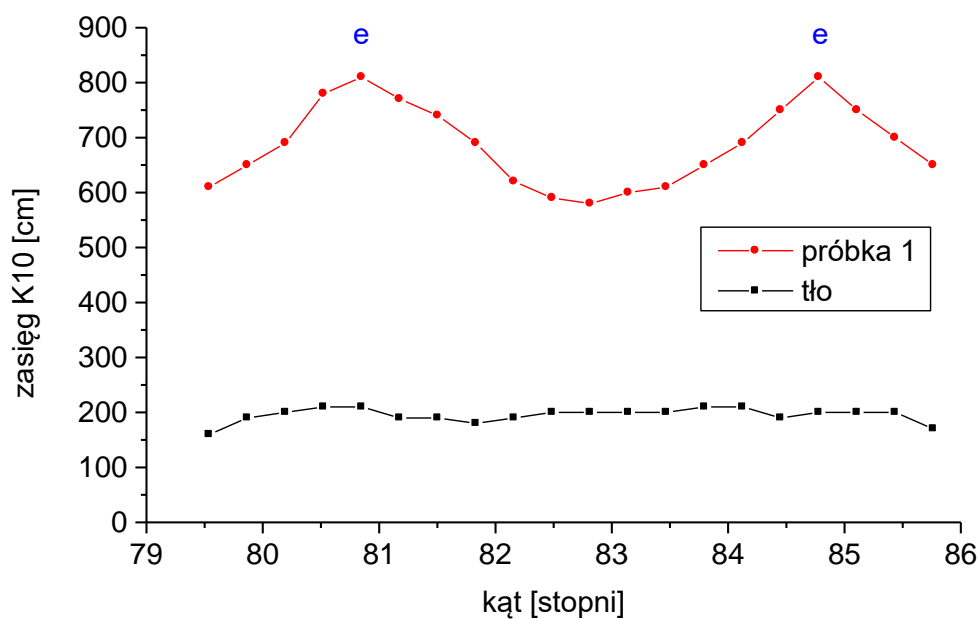
woda dejonizowana



Rys. 3. Fotografia mikroskopowa wody do wlewów dożylnych. Mikroskop Delta Optical Evolution 100, obiektyw 40x, kamera DLT-Cam PRO 2MP USB 2.0.

1/32/32/32

kąt	aprosks	kontrola		pr1	tło K	
[mm]	[stopni - 90]	zasięg K10	zasięg K10	zasięg K10	zasięg K10	
68	79,54	420		1030	580	
68,5	79,8675	430		1080	620	
69	80,195	450		1140	650	
69,5	80,5225	490		1270	700	
70	80,85	560		1370	770	
70,5	81,1775	510		1280	700	
71	81,505	460		1200	650	
71,5	81,8325	430		1120	610	
72	82,16	430		1050	620	
72,5	82,4875	430		1020	630	
73	82,815	420		1000	620	
73,5	83,1425	410		1010	610	
74	83,47	430		1040	630	
74,5	83,7975	480		1130	690	
75	84,125	520		1210	730	
75,5	84,4525	570		1320	760	
76	84,78	580		1390	780	
76,5	85,1075	560		1310	760	
77	85,435	520		1220	720	
77,5	85,7625	490		1140	660	



Rys. 4. Woda dejonizowana do infuzji. Odjęty szum spektroskopu.

22 marca 2022

Insulina, heparyna

Insulina: Levemir, Penfill, 100 jednostek/ml, roztwór do wstrzykiwań, insulina detemir, Novo Nordisk A/S, 12/2022, KR75P47.

Heparyna: Neoparin, heparyna sodowa, roztwór do wstrzykiwań, 600 j.m., 60mg/0,6ml, 03/2024, Lot AC06601A.

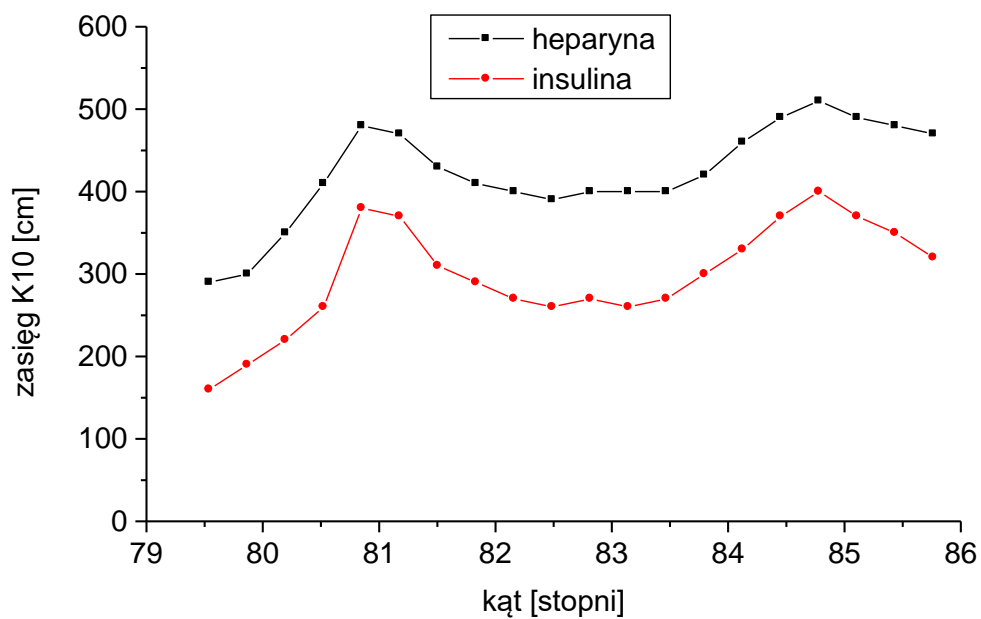
Heparyna ta powodowała, po wstrzykiwaniu podskórnym w brzuch, bóle brzucha i ciągle uczucie gorąca brzucha.

insulina x2 K10 340, K12 580

heparyna x1 K10 390, K12 530

kąt	aprosks	kontrola	heparyna x1/32	insulina x2/32		
[mm]	[stopni - 90]	zasięg K10	zasięg K10	zasięg K10	zasięg K10	
68	79,54	520	810	680		
68,5	79,8675	530	830	720		
69	80,195	540	890	760		
69,5	80,5225	560	970	820		
70	80,85	580	1060	960		
70,5	81,1775	560	1030	930		
71	81,505	540	970	850		
71,5	81,8325	530	940	820		
72	82,16	520	920	790		
72,5	82,4875	520	910	780		
73	82,815	510	910	780		
73,5	83,1425	520	920	780		

74	83,47	530	930	800		
74,5	83,7975	560	980	860		
75	84,125	580	1040	910		
75,5	84,4525	590	1080	960		
76	84,78	600	1110	1000		
76,5	85,1075	590	1080	960		
77	85,435	570	1050	920		
77,5	85,7625	560	1030	880		



Rys. 5. Insulina i heparyna. Odjęty szum spektroskopu.

Zarówno w badanej insulinie jak i badanej heparynie znajdował się grafen. Kilkukrotnie większa ilość grafenu w heparynie.